

بِسْمِ اللّٰهِ الرَّحْمٰنِ الرَّحِيْمِ

WPS



دانشگاه مازندران

دانشکده علوم پایه

پایان‌نامه دوره کارشناسی ارشد در رشته فیزیک هسته‌ای

موضوع:

**مطالعه اثر ناخالصی  $Li^6$  در محیط D/D در پلاسمای همجوشی  
محصورسازی اینرسی**

استاد راهنما:

دکتر محمد مهدوی

استاد مشاور:

دکتر امید ناصر قدسی

اساتید داور:

دکتر فرشاد صحبت زاده

دکتر محسن نژاد اصغر

نام دانشجو:

بنت الهدی جلالی

شهریور ماه ۸۷

ب

۱۱۳۸۶۵

## سپاسگزاری

از تمامی عزیزانی که در به انجام رساندن این پایاننامه، اینجانب را یاری نموده‌اند، تشکر می-نمایم. از استاد راهنمای گرامی آقای دکتر. محمد مهدوی، که در طول این مدت از شخصیت علمی ایشان استفاده نموده ام، کمال تشکر را دارم. همچنین از جناب آقای دکتر امید ناصر قدسی که استاد مشاور من در این پایان نامه بوده‌اند، تشکر می‌نمایم. از استاد گرامی جناب آقای دکتر فرشاد صحبت زاده و دکتر محسن نژاد اصغر که داوری جلسه دفاع اینجانب را بر عهده داشتند، و همچنین نماینده تحصیلات تکمیلی، جناب آقای دکتر علیرضا خصالی سپاسگزاری می‌نمایم.

تقدیم به:

پدر و مادر عزیزم به پاس عاطفه سرشارشان که چون شبچراگی می درخستند  
و روح را از تنها بی و نامیدی رهایی بخشیدند.

## چکیده

بهینه کردن مصرف سوخت های طراحی شده در سیستم های همجوشی، به خصوص در سیستم های همجوشی به روش محصورسازی اینرسی، (ICF) یکی از پارامتر های بسیار مهم در سیستم های همجوشی است. در این کار تحقیقاتی، معادلات دینامیکی حاکم بر یک سیستم همجوشی به روش محصورسازی اینرسی برای قرص سوخت  $Li^6D/D$  با ناخالصی نوشته شده است. سپس وابستگی بهره سیستم به پارامترهای دما، چگالی و شعاع قرص با حل معادلات دینامیکی به روش رانگ-کوتای مرتبه چهارم بررسی شده است. محاسبات نشان می دهد که با در نظر گرفتن دمای اولیه ۳۵ کیلو الکترون ولت و چگالی سوخت حدود ۵۰۰۰ گرم بر سانتی متر مکعب و نسبت ناخالصی ۰/۰۵ بهره ماکزیمم به دست می آید.

واژه های کلیدی: محصورسازی اینرسی، سطح مقطع همجوشی، پارامتر آهنگ همجوشی، اشتعال، تابش ترمی، پراکندگی کامپتون معکوس، انبساط مکانیکی

| عنوان  | صفحه      |
|--|-----------|
| فصل اول: همجوشی هسته‌ای                            | ۱         |
| ۱-۱- مقدمه   | ۱         |
| ۱-۲- انرژی بستگی                                   | ۳         |
| ۱-۳- انواع برهمکنش‌های هسته‌ای                     | ۵         |
| ۱-۴- تئوری برهمکنش همجوشی                          | ۶         |
| ۱-۵- همجوشی به روش کاتالیزور میونی                 | ۱۰        |
| ۱-۶- همجوشی به روش محصورسازی مغناطیسی (MCF)        | ۱۲        |
| ۱-۷- همجوشی به روش محصورسازی اینرسی (ICF)          | ۱۳        |
| ۱-۸- شعاع‌ها و سپرهای در قرص سوت                   | ۱۶        |
| <b>فصل دوم: محاسبه‌ی پارامتر آهنگ همجوشی</b>       | <b>۲۰</b> |
| ۲-۱- محاسبه‌ی فرمول وانگ برای سطح مقطع همجوشی      | ۲۱        |
| ۲-۲- نارسایی‌های فرمول وانگ و شعاع وابسته به انرژی | ۲۷        |
| ۲-۳- پتانسیل حاکم بر سیستم                         | ۳۰        |
| ۲-۴- روش پیشنهادی برای محاسبه‌ی سطح مقطع همجوشی    | ۳۲        |
| ۲-۵- پارامتر آهنگ همجوشی                           | ۳۵        |
| <b>فصل سوم: دینامیک اشتغال</b>                     | <b>۳۸</b> |
| ۳-۱- معادله دینامیکی حاکم بر چگالی ذرات            | ۳۸        |
| ۳-۲- معادله تعادل انرژی                            | ۳۹        |
| ۳-۳- تابش ترمزی                                    | ۴۱        |

|    |   |
|----|---|
| ۴۴ | ۳-۴- کار مکانیکی                                  |
| ۴۵ | ۳-۵- اثر کامپتون معکوس                            |
| ۴۷ | ۳-۶- بهره سیستم                                   |
| ۴۸ | <b>فصل چهارم: محاسبات و نتیجه‌گیری</b>            |
| ۵۰ | ۴-۱- مهم‌ترین فرایندها در محیط موردنظر            |
| ۵۲ | ۴-۲- حل معادلات دینامیکی                          |
| ۵۵ | ۴-۳- شرط اشتعال                                   |
| ۵۸ | ۴-۴- تغییرات زمانی دمای یون‌ها و الکترون‌ها       |
| ۵۹ | ۴-۵- تغییرات زمانی چگالی ذرات مختلف برهمکنش کننده |
| ۶۱ | ۴-۶- بررسی اثر برهمکنش‌های لیتیوم-۶               |
| ۶۲ | ۴-۷- منحنی بهره                                   |
| ۶۳ | ۴-۸- بررسی اثر کامپتون معکوس روی پارامترهای مختلف |
| ۶۷ | ۴-۹- نتیجه‌گیری و پیشنهادات                       |
| ۶۸ | پیوست   |
| ۶۸ | پیوست الف: برنامه کامپیوتری                       |
| ۹۴ | منابع   |

## فهرست اشکال

| صفحه | شکل  |
|------|--|
| ۴    | شکل ۱-۱: انرژی بستگی هر نوکلئون بر حسب عدد جرمی  |
| ۹    | شکل ۱-۲: انرژی پتانسیل بر حسب فاصله‌ی بین دو هسته باردار با انرژی مرکز جرم   |
| ۱۵   | شکل ۱-۳: انفعال یک قرص کروی به روش محصورسازی اینرسی  |
| ۲۳   | شکل ۲-۱: نمایش شعاع قله $R_B$ و ارتفاع آن $V_B$ ، و همچنین نقاط تونل زنی با انرژی تغییر می‌کند.                            |
| ۳۰   | شکل ۲-۲: تغییرات $R(E)$ بر حسب انرژی برای سیستم $^{16}\text{O} + ^{208}\text{Pb}$  |
| ۳۴   | شکل ۲-۳: نمودار سطح مقطع برهمکنش $\text{Li}/^3\text{He}$ بر حسب انرژی مرکز جرم   |
| ۳۵   | شکل ۲-۴: نمودار سطح مقطع همجوشی برهمکنش $\text{Li}/^6\text{C}$   |
| ۳۶   | شکل ۲-۵: آهنگ برهمکنش $\text{Li}/^3\text{He}$ بر حسب دما   |
| ۴۲   | شکل ۳-۱: تابش ترمزی  |
| ۵۱   | شکل ۴-۱: نمودار پارامتر آهنگ همجوشی بر حسب دما برای واکنش‌های مختلف  |
| ۵۳   | شکل ۴-۲: نمودار پارامتر آهنگ همجوشی بر حسب دما برای واکنش‌های موردنظر با استفاده از روش ارائه شده                          |
| ۵۷   | شکل ۴-۳: نمودار شرایط اشتعال   |
| ۵۸   | شکل ۴-۴: چگونگی تغییرات زمانی دمای یون، دمای الکترون و دمای تابش، در $X=0.05$  |
| ۵۹   | شکل ۴-۵: تغییرات چگالی یونی ذرات مختلف شرکت کننده در برهمکنش‌های موردنظر   |
| ۶۰   | شکل ۴-۶: تغییرات زمانی چگالی تریتیوم   |
| ۶۱   | شکل ۴-۷: چگونگی تغییرات دمای یون بر حسب زمان و بررسی برهمکنش‌های $\text{D}/^6\text{Li}$ و $\text{D}/^3\text{He}$ بر آن     |
| ۶۲   | شکل ۴-۸: چگونگی تغییرات دمای الکترون بر حسب زمان و بررسی برهمکنش‌های $\text{D}/^6\text{Li}$ و $\text{D}/^3\text{He}$ بر آن |
| ۶۳   | شکل ۴-۹: چگونگی تغییرات بهره بر حسب پارامتر $\rho R$ های مختلف   |
| ۶۴   | شکل ۴-۱۰: نمودار تغییرات $\tau_B$ بر حسب دمای الکترون  |
| ۶۵   | شکل ۴-۱۱: تغییرات زمانی چگالی تریتیوم و بررسی اثر کامپتون معکوس  |
| ۶۵   | شکل ۴-۱۲: تغییرات زمانی دمای الکترون و تأثیر اثر کامپتون معکوس   |

۶۶

شکل ۱۳-۴: تغییرات زمانی دمای بون و تأثیر اثر کامپتون معکوس

۶۶

شکل ۱۴-۴: اثر کامپتون معکوس بر منحنی بهره

## لیست علائم و اختصارات

|  |                                  |
|--|----------------------------------|
| <b>μCF</b> (Muon Catalized Fusion)       | همجوشی به روش کاتالایزور میونی   |
| <b>MCF</b> (Magnetic Confinement Fusion) | همجوشی به روش محصورسازی مغناطیسی |
| <b>ICF</b> (Inertial Confinement Fusion) | همجوشی به روش محصورسازی اینرسی   |

## فصل اول- همچو شی هسته‌ای

### ۱- مقدمه

انرژی مهم‌ترین و اساسی ترین عامل هر فعالیتی اعم از صنعتی، کشاورزی، عمرانی و غیره می‌باشد. لذا با توجه به منابع تولید و ظرفیت‌های موجود آن در طبیعت، یکی از مهم‌ترین مسائل مورد بحث در جهان امروزی است. انسان در طول حیات خود بر روی کره زمین، جهت تأمین نیازهای خود همواره استفاده از انرژی را مدنظر داشته است. افزایش جمعیت و پیشرفت تکنولوژی باعث بالا رفتن مصرف انرژی می‌شود که این دستیابی به منابع جدید انرژی را ضروری می‌سازد. زیرا استفاده از انرژی آب‌های جاری بسیار محدود است و فقط در نواحی خاصی از جهان در دسترس می‌باشد. ذخایر سوخت‌های فسیلی نیز روبروی اتمام است. پس انتظار می‌رود کمبود انرژی با سوخت‌های هسته‌ای تأمین شود.

بیش از نیم قرن است که راکتورهای شکافت هسته‌ای به کار افتاده‌اند. مهم‌ترین واکنش شکافت که در نیروگاه‌های شکافت هسته‌ای حرارتی کنونی صورت می‌گیرد، شکافت ایزوتوپ اورانیوم یعنی  $U^{235}$  از طریق جذب نوترون کند یا حرارتی است. این واکنش مدت‌های محدودی است که به صورت کنترل شده در نیروگاه‌های هسته‌ای حرارتی انجام می‌شود و تنها عامل محدود کننده آن مقدار کل  $U^{238}$  موجود در زمین است. مقدار ذخایر اورانیوم در معادن موجود حدود  $10 \times 10^{10}$  کیلوگرم برآورد شده است. تنها  $0.72\%$  درصد اورانیوم طبیعی را  $U^{235}$  و بقیه آن را  $U^{238}$  تشکیل می‌دهد. با توجه به بازدهی  $30$  تا  $40$  درصدی چنین نیروگاه‌های هسته‌ای حرارتی از طریق راکتورهای آب سبک فقط  $7/35 \times 10^{10}$  ژول، انرژی الکتریکی از این مقدار اورانیوم به دست می‌آید. با افزایش مصرف انرژی الکتریکی در جهان منابع اورانیوم کشف شده فعلی نمی‌تواند پاسخگوی این مصرف در دراز مدت باشد. در حالی که فراوانی عناصر سبک که می‌توانند از طریق همجوشی انرژی تولید کنند، دانشمندان را به سمت ساخت راکتورهای همجوشی سوق داد. دوتربیوم به‌طور طبیعی در اقیانوس‌ها حدود  $0.03\%$  درصد وجود دارد (حدود  $40$  گرم دوتربیوم در یک تن آب).

تریتیوم رادیواکتیو است و مقدار آن در طبیعت خیلی کمتر از دوتربیوم می‌باشد یعنی  $0.1\%$  گرم در هر تن آب دریا، اما به آسانی می‌توان آن را با بمباران لیتیوم با نوترون در یک راکتور هسته‌ای تولید کرد. ذخیره قابل دسترس دوتربیوم برای تأمین همه نیازهای انرژی تا یک بیلیون سال و همچنین لیتیوم برای یک میلیون سال کافی است [۲و۱].

## ۱-۲- انرژی بستگی<sup>۱</sup>

با توجه به رابطه‌ی جرم-انرژی اینشتین، هرگاه جرم کل محصولات نهایی از جرم کل هسته‌های برهمکنش کننده کمتر باشد یک برهمکنش هسته‌ای گرمایش است، که در آن انرژی زیرآزاد می‌شود:

$$Q = \left( \sum_i m_i - \sum_f m_f \right) c^2 \quad (1-1)$$

و متناسب با اختلاف جرم آنها است.

در اینجا نماد  $m$  جرم و شاخصه‌های  $i$  و  $f$  به ترتیب محصولات اولیه و نهایی را نشان می‌دهد و  $c$  سرعت نور می‌باشد.

برهمکنش‌های گرمایشی را می‌توان با توجه به جرم و انرژی بستگی هریک از هسته‌ها توجیه کرد. جرم یک هسته با عدد اتمی  $Z$  و عدد جرمی  $A$  با جمع جرم کل  $Z$  پروتون و  $A-Z$  نوترون متفاوت است لذا داریم:

$$\Delta m = Zm_p + (A - Z)m_n - m \quad (2-1)$$

که در اینجا  $m_p$  و  $m_n$  به ترتیب جرم پروتون و جرم نوترون هستند. برای هسته‌های پایدار  $\Delta m$  مثبت است و می‌تواند مقدار انرژی‌ای، مساوی با انرژی بستگی:

$$B = \Delta m c^2 \quad (3-1)$$

برای جدا کردن هسته‌ها به پروتون‌ها و نوترون‌های تشکیل‌دهنده تهیه کند.

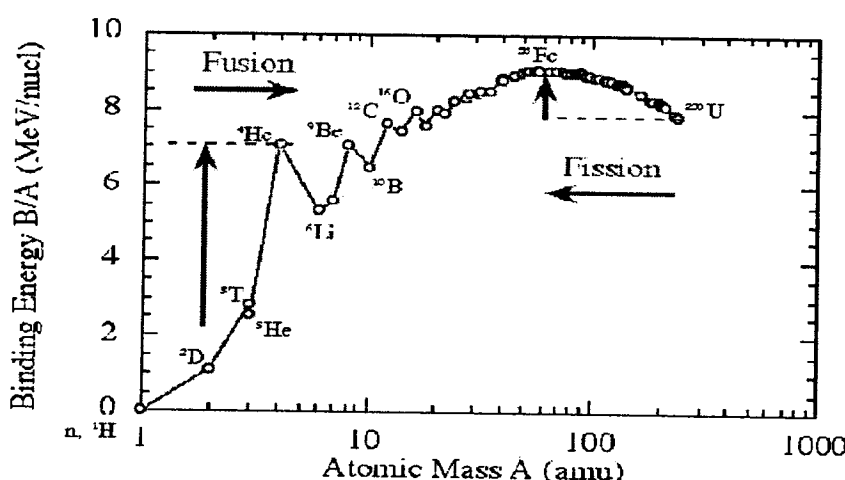
---

<sup>1</sup> Binding Energy

میزان  $Q$  یک برهمکنش هسته‌ای می‌تواند بر حسب اختلاف بین انرژی‌های بستگی اولیه و نهایی هسته‌ای برهمکنش کننده نوشته شود:

$$Q = \sum_f B_f - \sum_i B_i \quad (4-1)$$

توجه کنید که داده‌های جرم‌های هسته‌ای و انرژی بستگی توسط واپسترا<sup>۱</sup> و آیودی<sup>۲</sup> در سال ۱۹۹۵ منتشر شد. یک کمیت به ویژه مفید، میانگین انرژی بستگی به ازای هر نوکلئون می‌باشد شکل (۱-۱). میانگین انرژی بستگی که برای  $A=1$  برابر صفر است. برای هسته‌های هیدروژن به سرعت با افزایش  $A$  رشد می‌کند و به یک مقدار ماکزیمم پهن  $8/7$  مگا الکترون-ولت در حدود  $A=56$  می‌رسد و سپس به کندی کاهش پیدا می‌کند. برای سنگین‌ترین هسته‌ها میانگین انرژی بستگی  $8/5$  مگا الکترون-ولت می‌باشد. با توجه به بحث بالا، هرگاه محصولات نهایی برهمکنش میانگین انرژی بستگی بزرگتری نسبت به هسته‌های برهمکنش کننده داشته باشند، برهمکنش گرم‌ماز است.



شکل (۱-۱) تغییرات انرژی بستگی بر نوکلئون بر حسب عدد جرمی [۳].

<sup>1</sup> Wapstra  
<sup>2</sup> Audi

### ۱-۳- انواع برهمکنش‌های هسته‌ای

برهمکنش‌های هسته‌ای شامل برهمکنش‌های شکافت و همجوشی می‌باشند. چنانچه در شکل (۱-۱) نشان داده شده است، برهمکنش شکافت وقتی پدیدار می‌شود که در آن هسته‌های سنگین به پاره‌های کوچکتر شکافته شوند و برای برهمکنش همجوشی، دو هسته سبک برای تشکیل هسته‌های سنگین‌تر با هم ترکیب می‌شوند.

همجوشی هسته‌ای را می‌توان به عنوان فرایند عکس شکافت هسته‌ای دانست، یعنی فرایندی که در آن دست‌کم یکی از محصولات واکنش هسته‌ای از هر یک از مواد شرکت‌کننده در واکنش سنگین‌تر است. همجوشی هسته‌ای در مواردی که جرم کل هسته‌های محصول از جرم کل مواد شرکت‌کننده در واکنش کمتر باشد منجر به رهایی انرژی خواهد شد. این شرط برای هسته‌های سبک با عدد جرمی  $A_1$  و  $A_2$  که برای آنها  $A_1 + A_2 < 60$  باشد همیشه برقرار است.

پیشرفت‌های علم فیزیک هسته‌ای که امکان تولید انرژی هسته‌ای را از طریق شکافت هسته‌های سنگین مثل اورانیوم مطرح ساخت، منجر به تحقیقات وسیعی در زمینه تولید انرژی هسته‌ای از طریق شکافت گردید، به طوری که سرانجام در سال ۱۹۴۲ اولین راکتور هسته‌ای ساخته شده [۴] و سرآغاز راه جدیدی برای تولید انرژی کنترل شده از منابع سوخت هسته‌ای قرار گرفت.

راکتورهای شکافت هسته‌ای نیز مشکلات خود را به همراه داشتند. از آن جمله، منابع محدود اورانیوم، مسئله دفع پسماند‌های سوخت این راکتورها که بسیار رادیواکتیو هستند و دارای طول عمر زیاد می‌باشند، نگهداری آنها و این که در حوادث احتمالی، نشت پسماندهای خطرناک، لطمات جبران ناپذیری می‌تواند

به سلامت انسان‌ها و محیط زیست وارد کند و بالاخره قابل کنترل نبودن راکتورهای شکافت بعد از وقوع حادثه مواردی هستند که می‌توان نام برد [۵].

در زمینه فرآیند همجوشی هسته‌ای، فرایندی که بتواند واکنش همجوشی را به صورت کنترل شده، مدام و ارزان در اختیار بشر قرار دهد، کشف نشده است، منتهی تحقیقات وسیعی در این زمینه انجام شده و یا در حال انجام است و نتایج امیدوارکننده‌ای هم تا کنون حاصل گردیده است.

دلیل اینکه راکتورهای شکافت خیلی زودتر به نتیجه رسیدند و چند دهه‌ای است که مورد استفاده قرار گرفته‌اند، این است که در فرآیند شکافت هسته‌ای نوترون که بدون بار است باید با هسته‌های سنگین مثل  $^{239}\text{Pu}$ ،  $^{235}\text{U}$  و  $^{235}\text{U}$  وغیره برخورد کند و تشکیل هسته مرکب دهد و سپس هسته مرکب متلاشی می‌شود. نوترون‌ها با هر انرژی قادر به نفوذ در هسته‌ها هستند، حتی برای هسته‌های شکافت‌پذیر، سطح مقطع این فرآیند برای نوترون‌های کم‌انرژی بیشتر است [۶].

#### ۱-۴- تئوری برهمکنش همجوشی

در برهمکنش‌های همجوشی، دو هسته  $\text{X}_1$  و  $\text{X}_2$  برای تشکیل هسته سنگین  $\text{X}_3$  و یک ذره سبک‌تر  $\text{X}_4$ ، با هم ترکیب می‌شوند. برای بیان این واکنش از نمایش استاندارد زیر استفاده می‌کنیم:



یا:



انرژی آزاد شده در برهمکنش بین محصولات همجوشی به طور عکس با نسبت جرمی آنها توزیع می‌شود که از پایستگی انرژی و تکانه ناشی می‌شود. اگر سرعت هسته‌های برهمکنش کننده در سیستم آزمایشگاهی را به ترتیب با  $v_1$ ,  $v_2$  و سرعت نسبی آنها را با  $v = v_1 - v_2$  نشان دهیم، انرژی مرکز جرم سیستم هسته‌های برهمکنش کننده را می‌توان به صورت زیر بیان کرد:

$$\epsilon = \frac{1}{2} m_r v^2 \quad (V-1)$$

$$\text{که } v = |v| \text{ و}$$

$$m_r = \frac{m_1 m_2}{m_1 + m_2} \quad (A-1)$$

جرم کاهش یافته سیستم است.

پدیده همجوشی در هسته‌ها ممکن است به وسیله تونل‌زنی کوانتومی صورت گیرد [7]، ولی احتمال انجام این فرآیند بسیار کم است و لذا برای عملی ساختن همجوشی هسته‌ای و انجام آن، بایستی پهنهای سد کولنی را که به وسیله هسته‌ها به وجود آمده، به مقدار قابل ملاحظه‌ای کاهش داد. برای این منظور بایستی هسته‌ها به هم نزدیک شوند تا از سد کولنی ایجاد شده به وسیله خود عبور کنند و در برد نیروهای هسته‌ای قوی که از نوع جاذبه می‌باشند قرار گرفته و احتمال همجوشی را افزایش دهند. این عمل با دادن انرژی مورد نیاز به هسته‌ها صورت می‌پذیرد.

چنین وضعیتی با نموداری از رفتار شعاعی انرژی پتانسیل یک سیستم دو هسته‌ای، در شکل (۲-۱) نشان داده شده است، معلوم می‌شود که در فاصله‌های بزرگتر از  $r_0$  پتانسیل لزوماً کولنی و دافعه است.

$$V_c(r) = \frac{Z_1 Z_2 e^2}{r} \quad (9-1)$$

$$r_n \approx 1.44 \times 10^{-13} \left( A_1^{1/3} + A_2^{1/3} \right) \quad (10-1)$$

$r_n$  بحسب سانتیمتر و تقریباً برابر با مجموع شعاع دو هسته است.

در معادله‌های بالا  $Z_1$  و  $Z_2$  عدد اتمی،  $A_1$  و  $A_2$  عدد جرمی هسته‌های برهمنکش‌کننده‌اند و  $e$  بار الکترون می‌باشد. در مسافت‌های  $r_n < r$  دو هسته نیروی جاذبه هسته‌ای را احساس می‌کنند. که با یک پتانسیل با عمق  $40-30$  مگا الکترون-ولت مشخص می‌شود. با استفاده از روابط (۹-۱) و (۱۰-۱) ارتفاع

سد کولنی را می‌توان به صورت زیر پیدا کرد:

$$V_b \approx V_c(r_n) = \frac{Z_1 Z_2}{A_1^{1/3} + A_2^{1/3}} \text{ MeV} \quad (11-1)$$

که از مرتبه‌ی یک میلیون الکترون-ولت است.

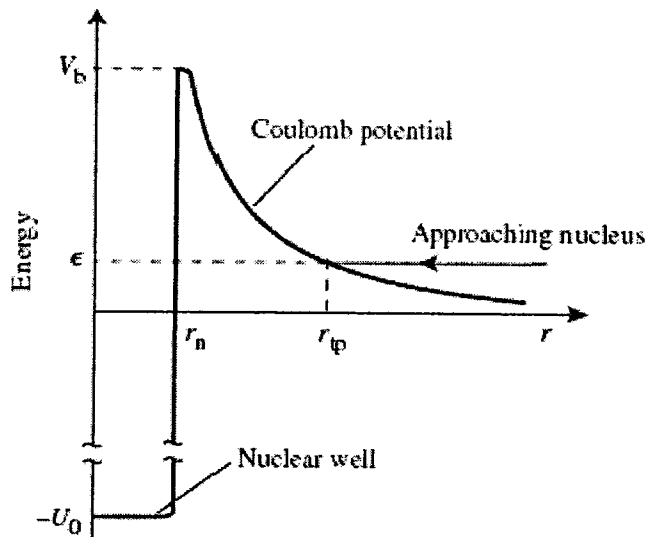
با توجه به مکانیک کلاسیک، تنها هسته‌ای می‌تواند از سد پتانسیل کولنی عبور کند که انرژی آن بیشتر از این مقدار باشد تا تماس حاصل شود. در عوض، دو هسته با انرژی نسبی  $V_b < 4$  می‌تواند به هسته دیگر، تنها با نقطه‌ی چرخشی کلاسیکی<sup>۱</sup> بیشتر از:

$$r_{tp} = \frac{Z_1 Z_2 e^2}{\epsilon} \quad (12-1)$$

نزدیک شود.

---

<sup>1</sup> Classic Rotational



شکل (۱-۲): انرژی پتانسیل بر حسب فاصله بین دو هسته باردار با انرژی مرکز جرم [۷]

به هر حال مکانیک کوانتومی، انجام چنین برهمکنش‌های همجوشی مابین هسته‌ها با انرژی کمتر از بزرگترین ارتفاع سد ممکن را برای تونل زدن از سد پتانسیل با پهنهای محدود، اجازه می‌دهد.

در فرآیند همجوشی هسته‌ای، هسته‌های همجوشی کننده دارای بار مثبت هستند و نیروی دافعه کولنی بین آن‌ها مانع اصلی در نزدیک شدن این هسته‌ها تا مرز نیروهای جاذبه هسته‌ای است. برای رفع این مشکل دو راه پیشنهاد شده است:

۱- همجوشی سرد<sup>۱</sup> (همجوشی به روش کاتالیزور میونی)

۲- همجوشی داغ<sup>۲</sup>

---

<sup>1</sup> Cold Fusion  
<sup>2</sup> Hot Fusion

## ۱-۵- همجوشی به روش کاتالیزور میونی<sup>۱</sup> ( $\mu\text{CF}$ )

ایده همجوشی به روش کاتالیزور میونی اولین بار توسط فرانک<sup>۲</sup> و در سال ۱۹۴۷ مطرح شد [۸]. در سال ۱۹۹۱ ساخاروف<sup>۳</sup> اساس مطالعه روی همجوشی کاتالیزور میونی را در تشکیل مولکول مقید میونی و اثر کوانتومی تونل زنی تشخیص داد [۹] و بیان کرد که با تشکیل یک مولکول میوندار سریعاً همجوشی صورت می‌گیرد.

کشف آزمایشگاهی همجوشی کاتالیزور میونی توسط الوارز<sup>۴</sup> و همکارانش در برکلی در سال ۱۹۵۶ صورت گرفت [۱۰].

فرایند همجوشی به روش کاتالیزور میونی بر اساس بی اثر کردن سد کولنی و نیروهای دافعه کولنی استوار است. برای بی اثر کردن سد کولنی بین هسته های همجوشی کتنده و نزدیک کردن آن ها به هم باید از ذرهای استفاده کرد که به جای الکترون اتمی بشینند و شعاع مدار بوهر آن کوچکتر از شعاع مدار بوهر اتم هیدروژن باشد تا هسته مورد نظر بدون بار شده و بتواند فاصله هسته ای خود را با دیگر هسته ها کم کرده و احتمال همجوشی را افزایش دهد. پس این ذره باید دارای خصوصیات زیر باشد: نسبت به الکترون دارای جرم بزرگتر، دارای بار منفی و دارای طول عمر بزرگتری نسبت به دیگر ذرات پیشنهادی باشد.

میون منفی ذره ای است که بار آن منفی و برابر با بار الکترون، جرم آن حدود ۲۰۷ برابر جرم الکترون و طول عمر آن حدود ۲/۲ میکروثانیه می باشد.

<sup>1</sup> Muon Catalyzed Fusion

<sup>2</sup> F.C. Frank

<sup>3</sup> A.D. Sakharov

<sup>4</sup> L.W. Alavares